



**Ciências
ULisboa**

Faculdade
de Ciências
da Universidade
de Lisboa

RELATÓRIO DO TRABALHO EXPERIMENTAL

A CONSERVAÇÃO DA ENERGIA MECÂNICA

FÍSICA EXPERIMENTAL I – 2018

DEPARTAMENTO DE FÍSICA

Grupo: Susana Marta, n.12345

António Maria, n.23456

Joaquina R. Migueis, n.34567

Manuel K. José, n.45678

Turma: PL-23 – grupo 1

Aula de: 26 de Fevereiro

Docente: Rui J. Agostinho

27 de Março de 2018

Resumo

Estudou-se o valor da aceleração gravítica g no laboratório C1.4.31 da FCUL. Para tal utilizou-se a queda livre de uma pessoa. Após fazerem-se alguns lançamentos, 950 vezes no total, para al?m de deduzir que $g_{C1} = 9,801 \pm 0,004 \text{ m/s}^2$, demonstra-se que cair n?o faz bem ? sa?de. Dos dados obtidos tamb?m se deduz, com um intervalo de confian?a de 99,5%, que a gravidade dos hematomas ? proporcional ? altura da queda, ou seja, ? energia cin?tica de embate: $E_c = \frac{1}{2}mv^2$. Por isso, devido ? conserva??o da energia total, conclui-se que ? melhor cair na Lua onde $g_L \approx g_{\oplus}/6$.

NOTA Explicativa: Este texto é exemplo da estrutura de um Relatório de Física Experimental. Esta estrutura deve ser usada mesmo se decidir escrever o seu relatório com outra aplicação. Pode alterar os nomes das Secções aqui sugeridas, mas a estrutura deve ser mantida:

1. Resumo
2. Objetivos do Trabalho
3. Procedimentos Experimentais
 - 3.1. Medições e Dados Obtidos
4. Análise de Resultados
5. Discussão e Conclusões
6. Referências

Deve também incluir as Subsecções e Subsubsecções que achar necessárias para aumentar a legibilidade e compreensão do seu relatório.

Ideias básicas sobre L^AT_EX: O objetivo deste texto é demonstrar a utilização do L^AT_EX em várias situações de texto científico, como algumas das suas capacidades de formatação.

Há muita informação na web sobre a utilização do L^AT_EX e aconselha-se a sua consulta. O melhor repositório de informação está em pt.wikibooks.org/wiki/Latex e *recomenda-se a sua utilização*. **Nota:** a última letra no nome L^AT_EX é um χ grego maiúsculo, daí pronunciar-se *lateq*.

O L^AT_EX não é um processador de texto "wysiwyg" (iniciais de "*what you see is what you get*" = "o formato que vê no ecrã é como fica impresso"), mas é uma linguagem de formatação de texto. Em L^AT_EX escreve-se numa file de texto simples (`fl.txt`), que contém o texto pretendido a ficar impresso, mas também os comandos que o formatam para produzir a versão a imprimir (pdf). Para entender melhor, compare as versões desta file em `.tex` e `.pdf`.

Procedimento para compilar o seu L^AT_EX– 1) escrever o texto numa file "`fl.tex`" que não fica formatada em "wysiwyg". 2) compila-se esta file com o comando: "`pdflatex fl.tex`" (clica no ícone ou usa F1), que gera a file bem formatada "`fl.pdf`". 3) As referências a números de página, figuras, equações, tabelas e bibliografia, só aparecem com a numeração correta depois de compilar a sua file 2 (ou 3) vezes seguidas.

Para facilitar o trabalho estão disponíveis (gratuitamente) muitos programas que fazem a edição do texto e a inclusão simplificada dos comandos L^AT_EX, fazendo realce colorido dos comandos e estruturas. Para Apple macOS *recomenda-se* o Texmaker que também tem ótimas versões para Linux e MS-Windows. O Texmaker necessita do compilador MacTex que é do melhor que há. Para MS-Windows também tem o editor TeXnicCenter que usa o compilador MikTeX ou o TexLive, que funciona noutras plataformas.

Para quem se habituou a escrever no processador de texto MSWord, há conversores de documentos como o Word-to-LaTeX que permitem exportar files `fl.doc` para formato L^AT_EX de um modo não bom

mas aceitável. Depois, é preciso rearranjar o seu texto na file `fl.tex`, introduzindo-o nas secções respectivas, ajustar os comandos de inclusão de imagens, as estruturas de tabelas e listas. No nosso caso a primeira linha deve obrigatoriamente ter a classe destes relatórios: `\documentclass[11pt]{relatorioFisExp}`

1 Objetivos do Trabalho e Aspectos Teóricos

NOTA Explicativa: Apresente uma descrição sucinta dos objetivos científicos do trabalho: que leis físicas se pretendem estudar e que métodos se pretendem usar e/ou estudar se for esse o caso. *Exemplos:*

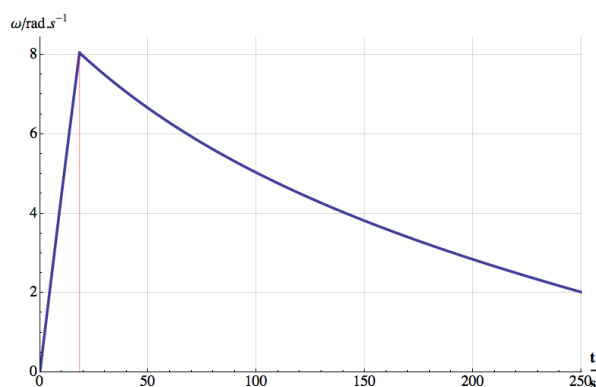
Estudar a importância do momento de inércia na velocidade de rotação de um corpo, em torno de um eixo próprio: a sua dependência na distribuição de massa em torno do centro de rotação, assim como a dependência na posição de Júpiter no céu? 5ª feira.

O objetivo principal é provar que o disco de Pohl tem uma velocidade de rotação *dependente da cor* em que está pintado. Para isso é necessário estudar o seu comportamento com a capacidade de visão $V(p)$ dos intervenientes: $V(p) = \int_0^\infty \int_0^{2\pi} \hbar \sin(k_B \bar{T}_p(r, \phi)) e^{-\alpha \cdot r} d\phi dr$, onde \bar{T}_p é a temperatura média numa pessoa em queda livre? distância r de Plutão, e as constantes \hbar e k_B são as habituais.

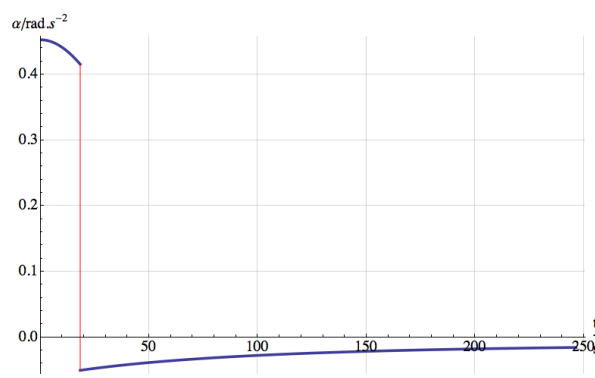
NOTA Explicativa: Devem aqui realçar-se alguns dos aspetos teóricos que sejam mais relevantes para o relatório. Note-se que em geral estão todos descritos no protocolo e, por isso, reduza às leis e equações que serão usadas na análise de resultados, mas deve ajuizar da sua extensão. *Exemplos possíveis:*

1.1 A desaceleração da rotação da barra por fricção aerodinâmica

Por ser um problema complexo, é necessário considerar as forças do atrito de fricção mecânica F_f e do atrito (arrasto) aerodinâmico F_{ar} que é proporcional à velocidade linear $v(r)$ do ponto na barra? distância r do centro, assim como a forma geométrica da barra. Calcula-se pelas equações do movimento que a velocidade e a aceleração angulares do sistema variam da seguinte forma:



(a) Velocidade angular da barra ω (rad/s), em função do tempo. Enquanto a massa m cai o ω aumenta.



(b) Aceleração angular da barra α (rad/s²), em função do tempo. Sem a massa m a aceleração α fica negativa.

Figura 1. Na parte positiva a aceleração da massa em queda é superior à do atrito, e depois sobra apenas a aceleração dos atritos de fricção e aerodinâmico (negativos). São valores calculados para as massas cilíndricas no extremo da barra.

A aceleração angular $\alpha(t) = \frac{d\omega(t)}{dt}$ a que o sistema fica sujeito não é uniforme e varia conforme apresentado na figura 1b (pág. seguinte). A curvatura varia no comportamento dos dois parâmetros

$\omega(t)$ (velocidade angular) e $\alpha(t)$, prov?m da for?a de fric??o aerodin?mica F_{ar} que aumenta com a velocidade linear (e a sec??o reta) de embate no ar, $F_{ar} \propto v^2$, que aumenta ao longo da barra pois $v = \omega r$, com $\omega = const.$

O extremo da barra sofre maior desacelera??o que a zona central. O bin?rio desta for?a, aplicada na posi??o r ao longo da barra, ? $d\vec{M}_{arb}(r) = \vec{r} \times C_{ar} \rho_{ar} dA_b v^2 \vec{u}_v$, em que $dA_b = D_b dr$? a ?rea de embate no ar dessa sec??o, D_b o di?metro da espessura da barra e ρ_{ar} a densidade m?ssica do ar. $C_{ar} \approx 0,5$? o coeficiente de atrito aerodin?mico que depende da forma do objeto, um cilindro finito neste caso. A perda de momento angular na rota??o da barra de semi-comprimento l_b ? proporcional ao integral: $\int_0^{l_b} d\vec{M}(r) = I_{tot} \frac{d\vec{\omega}}{dt} = I_{tot} \cdot \vec{\alpha}_b$, em que $\vec{\alpha}_b$? a acelera??o angular do sistema devida ? travagem aerodin?mica na barra. O integral resulta em $M_{arb} = \frac{1}{2} C_{ar} \rho_{ar} D_b l_b \omega^2$, para a barra completa.

Considerando que existe uma massa cil?ndrica grande M de di?metro D_M , comprimento l_M (que tapa a barra), com a 1? face ? dist?ncia x_M do centro, o integral anterior na barra completa, d?

$$M_{arb} = \frac{1}{2} C_{ar} \rho_{ar} D_b \left(l_b^4 - (x_M + l_M)^4 + x_M^4 \right) \omega^2 = K_{arb} \times \omega^2. \quad (1a)$$

$$M_{arM} = \frac{1}{2} C_{ar} \rho_{ar} D_M \left((x_M + l_M)^4 - x_M^4 \right) \omega^2 = K_{arM} \times \omega^2 \quad (1b)$$

sendo a equa??o 1b o bin?rio da for?a aerodin?mica aplicada nas duas massas M .

Nos casos estudados e com as massas M perto do centro, $x_M = 10,2$ cm, obt?m-se $K_{arM} = 18,3$ g.cm² e $K_{arb} = 144,5$ g.cm²: a barra ? dominante. A situa??o inverte-se para $x_M = 28,2$ cm: $K_{arM} = 379,5$ g.cm² e $K_{arb} = 93,8$ g.cm² \Rightarrow o bin?rio da for?a aerodin?mica aplicada nas duas massas M ? dominante.

1.1.1 Equa??es do movimento e a determina??o experimental do Momento de In?rcia Total

A integra??o da equa??o diferencial do movimento tem duas solu??es diferentes: enquanto cai o prato com a massa $m \Rightarrow$ acelera??o inicial, a velocidade $\omega_1(t)$ aumenta; ap?s o instante t_q em que a massa m se desprende o atrito faz a velocidade $\omega_2(t)$ diminuir at? zero. Nas equa??es I_{tot} ? o momento de in?rcia total do sistema, $K_{ar} = K_{arb} + K_{arM}$. No instante t_q a velocidade angular ? $\omega_1(t_q) = \omega_2(t_q) = \omega_q$. O atrito aerodin?mico (eqs. 1) imp?e uma velocidade limite ω_{1max} quando $t \rightarrow \infty$.

$$\text{Sendo } \omega_{1max} = \sqrt{\frac{r(mg - F_{at})}{K_{ar}}} \text{ ent?o,} \quad (2a)$$

$$\omega_1(t) = \omega_{1max} \tanh \left(\frac{K_{ar}}{I_{tot} + mr^2} \omega_{1max} t \right) \quad (2b)$$

$$\text{Considerando } W_2 = \sqrt{\frac{r F_{at}}{K_{ar}}} \text{ ent?o} \quad (2c)$$

$$\omega_2(t) = -W_2 \tan \left(\frac{K_{ar}}{I_{tot}} W_2 (t - t_q) - \tan^{-1} \left(\frac{\omega_q}{W_2} \right) \right) \quad (2d)$$

$$\alpha_{1max} = \sqrt{\frac{r(mg - F_{at})}{I_{tot} + mr^2}} \quad \text{ento,} \quad (3a)$$

$$\alpha_1(t) = \alpha_{1max} \operatorname{sech}^2 \left(\omega_{1max} \frac{K_{ar}}{I_{tot} + mr^2} t \right) \quad (3b)$$

$$\text{Como } \alpha_{at} = \frac{r F_{at}}{I_{tot}}, \quad (3c)$$

$$\alpha_2(t) = -\alpha_{at} \sec^2 \left(\frac{K_{ar}}{I_{tot}} W_2(t - t_q) - \tan^{-1} \left(\frac{\omega_q}{W_2} \right) \right) \quad (3d)$$

A acelera??o come?a com o valor m?ximo α_{1max} e depois $\alpha_1(t)$ diminui. Ap?s t_q (m desprende-se) passa a $\alpha_2(t) < 0$. A acelera??o α_{at} ? devida ? for?a de atrito F_{at} no eixo de raio r e $\alpha_{at} = \alpha_2(t \rightarrow \infty)$.

O melhor procedimento para determinar o momento de in?rcia total I_{tot} por via da medi??o da rota??o, ? o seguinte: nas curvas $\omega_1(t)$ e $\omega_2(t)$ *escolha-se um valor qualquer de refer?ncia* ω_{ref} . Nos instantes t_1 e t_2 que correspondem a $\omega_1(t_1) = \omega_2(t_2) = \omega_{ref}$, calcule-se (numericamente a partir dos dados) o valor das acelera??es angulares $\alpha_1(t_1)$ e $\alpha_2(t_2)$. Demonstra-se pelas equa??es 2 e 3 que o momento de in?rcia total do sistema ? sempre (exatamente) dado por:

$$I_{tot} = m r \frac{g - r \alpha_1(t_1)}{\alpha_1(t_1) - \alpha_2(t_2)} \quad (4)$$

1.2 Aspetos da oscila??o harm?nica amortecida com um termo de atrito constante

Integrando a equa??o 6 (p?g. 10) obt?m-se a posi??o angular $\theta(t)$ do disco no instante t : ($W = \frac{2\pi}{T}$)

$$\theta(t) \approx \left(\frac{v_0 e^{\lambda t}}{\sqrt{W^2 + \lambda^2}} + \frac{a_f}{W^2} \sqrt{1 + (t W)^2} \right) \sin(t W - \frac{\pi}{2}) \quad (5)$$

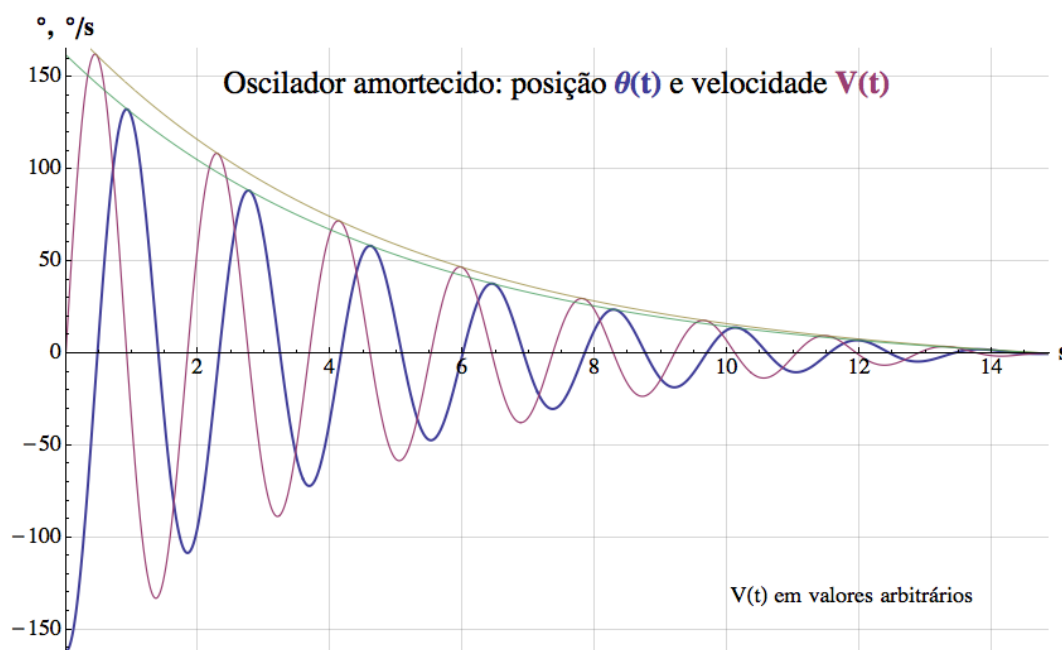


Figura 2. Posição angular $\theta(t)$ e velocidade linear $V(t)$ de rotação do disco de Pohl, para as condições de $i=0,40A$ e amplitude inicial 19. Nota: a velocidade está com valores reduzidos para ficar na mesma escala.

Para determinar a constante de amortecimento λ deve medir-se o tempo t_f que o oscilador demora a parar: introduzindo na equação 5 (pág. anterior) $\theta(t_f) = 0$ e considerando que $W \gg \lambda$, deduz-se uma relação que permite estimar λ :

$$\lambda = \frac{1}{t_f} \ln \left(-\frac{a_f}{v_0} \frac{\sqrt{W^2 + \lambda^2}}{W^2} \sqrt{1 + (t_f W)^2} \right) \Rightarrow \lambda \approx \frac{1}{t_f} \ln \left(\frac{-a_f}{v_0 W} \sqrt{1 + (t_f W)^2} \right)$$

A sua utilização depende do conhecimento *a priori* do valor da desaceleração por fricção a_f , característica de cada disco de Pohl, pois tanto W como v_0 são mensuráveis em cada experiência.

2 Procedimentos Experimentais

NOTA Explicativa: Como o detalhe dos procedimentos está no protocolo, deve apenas incluir uma *breve* descrição dos mesmos. Porém, deverá elaborar mais as situações em que os procedimentos efetuados não seguiram o protocolo, ou se há razões para explicitar melhor o que realizou. *Exemplos:*

Para estudar o momento de inércia num movimento circular, foi usada uma barra em rotação, com duas massas maiores M à mesma distância do centro de rotação. O sistema foi colocado em movimento com outra massa m que o puxava enquanto caía. Assim, procedeu-se da seguinte maneira:

- ✓ mediu-se o atrito de fricção do sistema F_f ,
- ✓ mediu-se o atrito aerodinâmico F_{aero} que é proporcional ao quadrado da velocidade linear $v(r)$ de um ponto da barra à distância r do centro,
- ✓ mediu-se a forma da barra.

2.1 Medições e Dados Obtidos

NOTA Explicativa: O ideal será incluir todos os dados experimentais obtidos mas isso é muitas vezes impraticável, e noutras vezes nem é desejável. Além disso demora-se algum tempo a copiar as tabelas de todos os dados obtidos para o texto, devido à sua quantidade. Dependendo da situação, devem ou podem ser apenas incluídos:

- Um resumo com os mais significativos.
- Agrafar fotocópias do caderno, como anexo.
- Agrafar a lista impressa dos mesmos, como anexo.
- Colocá-los online para se poderem consultar, incluindo o endereço `url[1]` nas referências.

2.1.1 Medição de oscilações harmónicas com o disco de Pohl

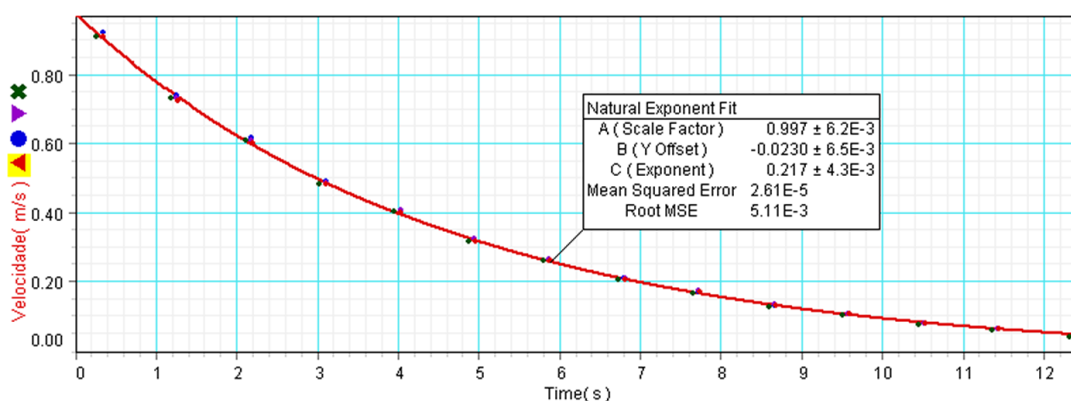


Figura 3. Velocidade linear máxima de rotação do disco de Pohl (m/s), em função do tempo.

Lançando o disco de Pohl com amortecimento (corrente no eletroímã $i = 0,40$ A), observa-se a velocidade máxima a diminuir em cada oscilação, ou seja, desaceleração forçada descrita por uma função exponencial, como se constata na figura 3.

2.1.2 A Medição da Expansão do Universo

Os nossos dados são os melhores do mundo. Apesar de haverem *ligeiros* problemas nas medições, os resultados obtidos são tão bons que serão apresentados numa conferência internacional sobre Cosmologia Experimental. Encontram-se na tabela 1 os resultados das medições efetuadas:

t (s)	ω (rad/s)	Ω	\hbar (J.s)	$ \vec{v} _{max}$ (m/s)	a (m/s ²)
0,1	$17,8 \times 10^1$	0,30	0,100	17,8	0,030
0,4	$34,1 \times 10^2$	0,31	0,410	34,1	0,031
0,5	$56,2 \times 10^2$	0,29	0,578	56,2	0,029

Tabela 1. Medições da rotação ω do universo e da sua densidade energética relativa Ω , obtidas com o telescópio de 20 metros de diâmetro no laboratório C1.4.31 da FCUL.

2.1.3 Dados do período e velocidade máxima do pêndulo

Os colegas Eduardo, André e João mediram o período do pequeno pêndulo em cima da bancada, a quem se agradece muito partilharem os dados.

T_1 (s)	V_1 (m/s)		T_2 (s)	V_2 (m/s)	
1,3447	0,1523	0,1339	1,1486	0,2747	0,1605
1,3444	0,1531	0,1351	1,1487	0,2740	0,1553
1,3445	0,1515	0,1327	1,1484	0,2653	0,1543
1,3447	0,1515	0,1333	1,1482	0,2646	0,1493
1,3446	0,1493	0,1316	1,1483	0,2577	0,1484
1,3445	0,1493	0,1327	1,1480	0,2577	0,1443
1,3445	0,1478	0,1304	1,1480	0,2494	0,1425
1,3445	0,1485	0,1316	1,1479	0,2488	0,1385
1,3444	0,1463	0,1288	1,1478	0,2410	0,1368
1,3445	0,1471	0,1304	1,1477	0,2398	0,1330
1,3444	0,1456	0,1282	1,1474	0,2331	0,1316
1,3444	0,1463	0,1293	1,1472	0,2320	0,1277
1,3445	0,1442	0,1271	1,1470	0,2252	0,1272
1,3445	0,1449	0,1282	1,1465	0,2232	0,1225
1,3445	0,1429	0,1261	1,1460	0,2179	0,1221
1,3444	0,1442	0,1271	1,1453	0,2155	0,1176
1,3444	0,1415	0,1250	1,1454	0,2101	0,1174
1,3444	0,1422	0,1261	1,1455	0,2083	0,1115
1,3444	0,1408	0,1240	1,1447	0,2024	0,1112
1,3443	0,1415	0,1255	1,1449	0,2008	0,1059
1,3443	0,1395	0,1230	1,1446	0,1949	0,1064
1,3444	0,1408	0,1240	1,1443	0,1938	0,1019
1,3443	0,1389	0,1220	1,1444	0,1876	0,1017

Tabela 2. Dados obtidos no primeiro ensaio de medição do período com o DataStudio. **Nota:** Os valores de velocidade e período não foram obtidos durante o mesmo ensaio. Os da velocidade V_1 são do ensaio realizado com o comprimento do fio $l = 50$ cm e os da V_2 são para $l = 24,2$ cm

2.1.4 Dados da Conservação da Energia Mecânica

No laboratório utilizou-se uma calha de ar inclinada de um ângulo α , na qual foram lançados um carrinho em deslize (sem rotação), uma esfera e um cilindro, ambos em rotação. Foi sempre medida a posição inicial (de repouso) na calha em relação à posição final, a do fotoporta que media a velocidade e que permaneceu fixo na parte inferior da calha em todos os lançamentos. A distância da posição inicial foi medida com a fita métrica que existe ao longo da calha. Os resultados das experiências foram gentilmente cedidos pelas colegas Elsa, Inês e Vânia, a quem se agradece muito.

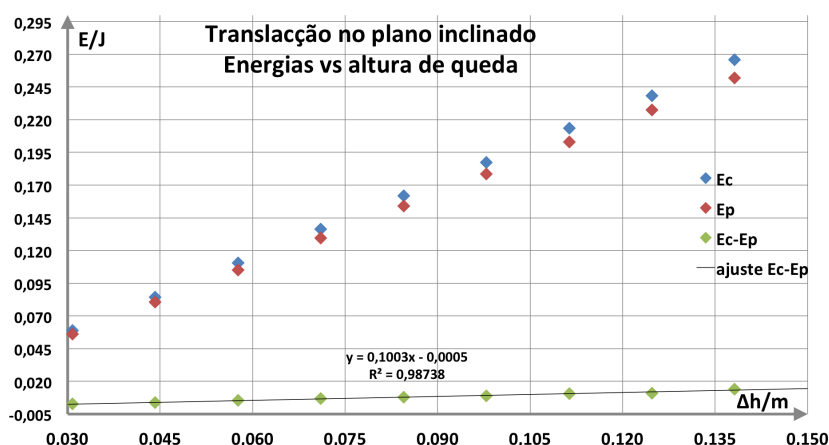


Figura 4. Lançamentos do Carrinho no plano inclinado: energias cinética final (E_c), potencial inicial (E_p) e a sua diferença ($E_c - E_p$) em Joules, em função da altura relativa de queda Δh (m). Parâmetros originais.

Para o lançamento do carrinho os resultados encontram-se no gráfico 4: torna-se estranho que exista mais energia cinética (à chegada) do que a potencial inicial.

No lançamento da esfera em translação e rotação os resultados constam na figura 5. Note-se que a medição referente aos 2,8 cm de altura deve ter sido mal feita, devido ao desvio inverso ao comportamento dos outros dados. Novamente há um aumento de energia total do sistema: a criação de energia a partir do nada é um Prémio Nobel!

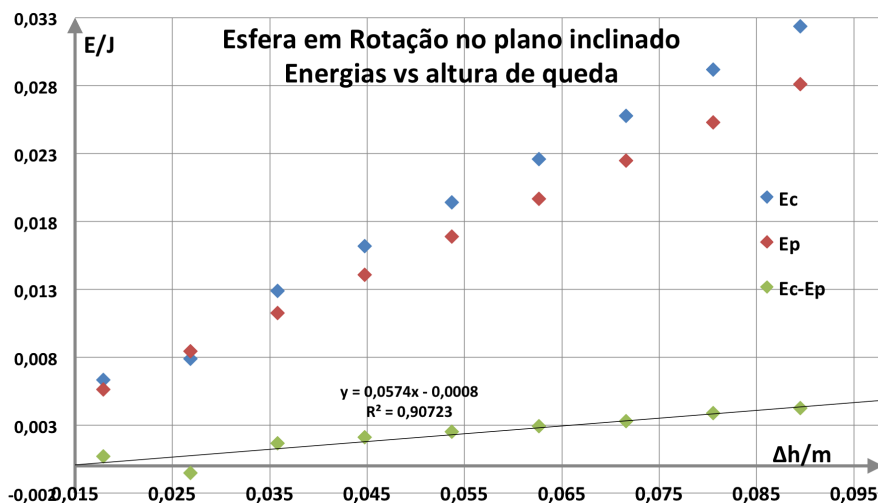


Figura 5. Esfera com rotação no plano inclinado: energias cinética final (E_c), potencial inicial (E_p) e a sua diferença ($E_c - E_p$) em Joules, em função da altura relativa de queda Δh (m). Parâmetros originais.

O lançamento do cilindro a diversas alturas iniciais teve os resultados apresentados na figura 6. Nesta situação aparece uma perda de energia total: a energia cinética E_c final é inferior à energia potencial E_p inicial, o que está de acordo com o esperado: perda de energia total por atrito de rolamento e um pouco de atrito aerodinâmico (pouco, devido à baixa velocidade).

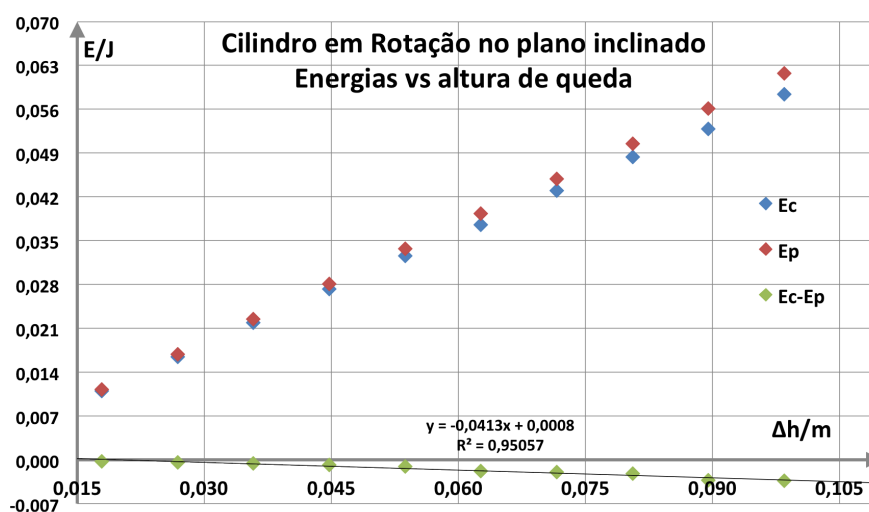


Figura 6. Cilindro com Rotação no plano inclinado: energias cinética final (E_c), potencial inicial (E_p) e a sua diferença ($E_c - E_p$) em Joules, em função da altura relativa de queda Δh (m). Parâmetros originais.

3 Análise de Resultados

NOTA Explicativa: Os resultados são produzidos recorrendo a tabelas e análise estatística dos valores medidos, aos parâmetros de ajuste aos dados e visualizados em gráficos, e finalmente usados nas equações físicas adequadas. Deve-se depois discutir em detalhe os resultados que se deduzem dos valores obtidos:

- Ao deduzir o mesmo parâmetro por duas vias, compará-los e discutir qual deles é melhor.
- Comparar os valores obtidos com os valores esperados, se for caso disso.
- Discutir a razão que fundamenta desvios sistemáticos nos resultados obtidos, se existirem.

3.1 Resultados do Oscilador Harmónico Amortecido

Aos dados obtidos ajustou-se uma equação que descreve a desaceleração forçada do disco de Pohl (com corrente elétrica $i = 0,40$ A, no eletroímã). A função da velocidade $v(t)$ é do tipo:

$$v(t) = (v_0 \cdot e^{\lambda t} + a_f \cdot t) \sin(W \cdot t) \quad (6)$$

Repare-se que a 1ª velocidade máxima que se mede, v_{m1} , ocorre na 1ª oscilação correspondente a $t = T/4$ (veja-se a figura 2, pág. 6). A função exponencial observada na figura 7 (pág. seguinte) tem parâmetros muito próximos dos obtidos com o programa *DataStudio* (parâmetros A, B, C, cujos valores estão apresentados na figura 3, pág. 7). A vantagem é que neste ajuste o valor do parâmetro a_f foi mantido constante, pois $\lambda \approx 0$ o mesmo para todos os lançamentos. Isto permite que os dados experimentais sejam usados na determinação de valores mais robustos para v_0 e λ : note-se que a incerteza Δ_p nos parâmetros ajustados varia com $\Delta_p \sim \frac{\sigma}{\sqrt{N - N_p}}$, onde σ é o desvio padrão dos resíduos no ajuste, N é a quantidade de dados usados e N_p a quantidade de parâmetros a determinar. Neste caso, o ajuste feito com *Mathematica* é:

$A = v_0 = +0,9687$ m/s, que é o parâmetro da velocidade. Note-se que é superior ao primeiro valor medido (no instante $t = T/4$), porque o sistema perde energia continuamente.

$B = a_f = -0,0027 \text{ m/s}^2$, que representa a aceleração da fricção mecânica na rotação. Foi previamente determinado com os dados de todos os lançamentos feitos.

$C = \lambda = -0,2140 \text{ s}^{-1} = \frac{1}{T_f}$, onde $T_f = 4,673 \text{ s}$, é a constante de tempo da fricção electromagnética.

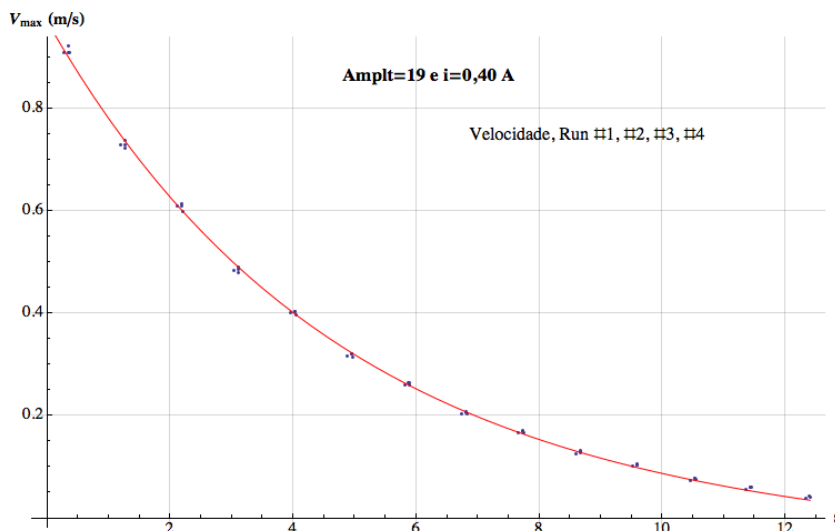


Figura 7. Velocidade linear máxima (m/s) de rotação do disco de Pohl, e ajuste da equação 6.

Este modelo funciona bem mesmo para atenuações fracas, situação em que o modelo de ajuste no *DataStudio* (ou *Excel*) não funciona. Veja-se o caso duma corrente eléctrica $i = 0,05 \text{ A}$, na figura 8. Daqui deduzem-se os seguintes parâmetros:

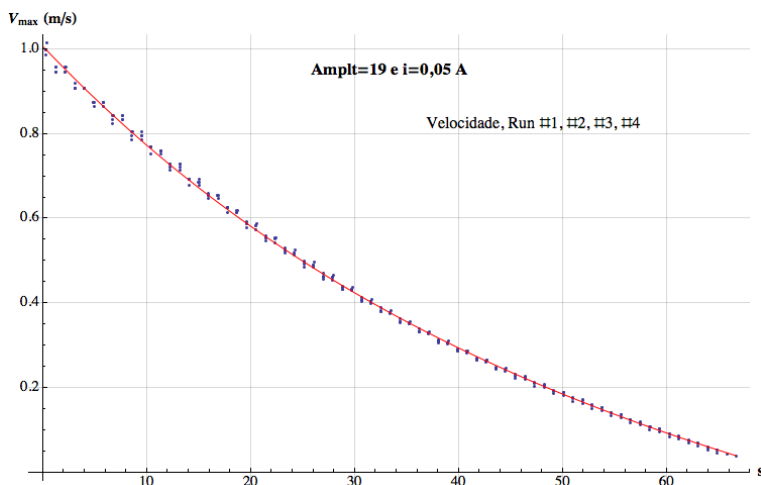


Figura 8. Velocidade linear máxima do disco de Pohl com amortecimento fraco, e ajuste da equação 6

$v_0 = +1,0071 \text{ m/s}$, é o parâmetro da velocidade.

$a_f = -0,0027 \text{ m/s}^2$, aceleração da fricção mecânica na rotação, previamente determinada.

$\lambda = -0,0231 \text{ s}^{-1} \Rightarrow T_f = 43,3 \text{ s} = \text{constante de tempo da fricção electromagnética.}$

É evidente que uma atenuação $\approx 10\times$ menor permite um coeficiente λ menor (neste fator), e um tempo de amortecimento X vezes maior, quando comparado com a primeira situação. O valor de X é determinado igualando a velocidade máxima nos dois casos. Escolhendo $0,03 \text{ m/s}$,

$$v1_0 \cdot e^{\lambda_1 t_1} + a_f \cdot t_1 = v2_0 \cdot e^{\lambda_2 t_2} + a_f \cdot t_2 = 0,03 \quad (7)$$

deduz-se que $X = t1/t2 = 12,68/67,44 = 5,32$, como se pode estimar pelos gráficos.

3.2 Resultados da aceleração g e conservação de energia no pêndulo

O histograma das 1038 medições do período do pêndulo grande no lab. C1.4.31 está apresentado na figura 9. O valor médio deste período leva a deduzir que:

$$g = 4\pi^2 \frac{l}{T^2} = 9,8031 \pm 0,0003 \text{ m/s}^2 \quad (8)$$

onde $l = 3,3543 \pm 0,0003 \text{ m}$ (que foi medido com muito sacrifício!) e $T = 3,6753 \pm 0,0003 \text{ s}$. Dos 1038 dados iniciais, 10 valores foram rejeitados por estarem desviados da média mais de $3,33\sigma$ e, estatisticamente, nenhum caso destes deveria ter ocorrido [2]. A incerteza relativa de g demonstra a ótima qualidade do resultado: (da equação 8)

$$\Delta g_{rel} = 0,017\%$$

A conservação da energia no pêndulo também não se verifica. Na tabela 2 (pág. 8) nota-se que apesar do período se manter praticamente constante, em acordo com o resultado para pequenas oscilações, a velocidade máxima diminui em cada passagem. Isto corresponde a perda de energia total no movimento, essencialmente por fricção aerodinâmica: nota-se bem nestes dados que a perda de velocidade é mais rápida em V_2 , pois inicia o movimento com um valor superior ao de V_1 . Mesmo no pêndulo grande com $l = 3,5 \text{ m}$ e de baixo atrito, essa perda é bem visível, como se constata na figura 10.

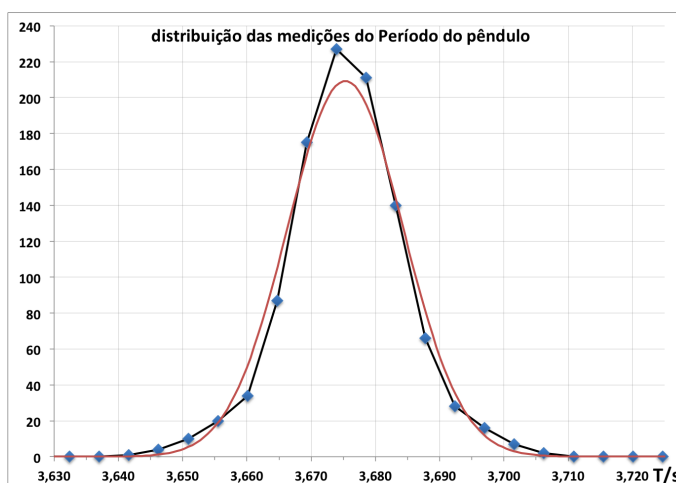


Figura 9. Histograma com a distribuição dos períodos medidos. Note-se a distribuição gaussiana que se aproxima bastante bem ao histograma dos dados.

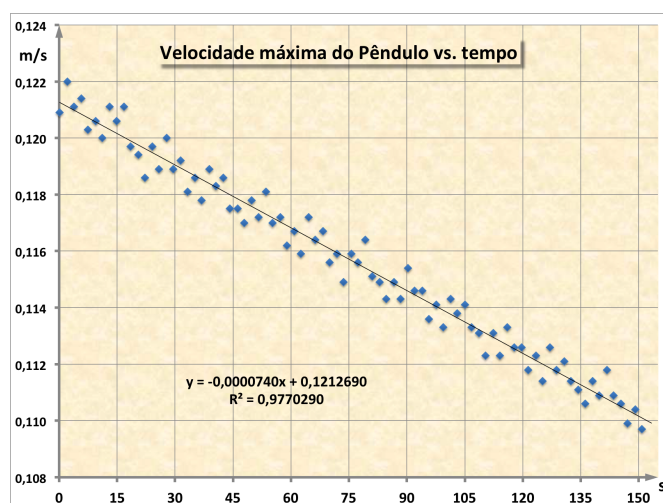


Figura 10. Perda de energia cinética: velocidade máxima do pêndulo grande, e ajuste de uma reta.

3.3 Resultados da Conservação da Energia Mecânica

Um dos principais problemas na verificação da conservação da energia total está no cálculo das energias, tanto a cinética como a potencial. O valor da energia cinética provém do valor medido da velocidade, que é obtida pela razão entre o espaço percorrido pela palheta em frente ao fotoporta. No caso do carrinho não existe grande incerteza dada a forma simples da palheta. Os casos da esfera e do cilindro são mais problemáticos pois assume-se que a luz do fotoporta é cortada pelo diâmetro destes objetos (valor que é usado no *DataStudio* para calcular a velocidade), quando não há certeza de se ter colocado o fotoporta exatamente nessa altura.

O valor da energia potencial depende da diferença de alturas entre a posição inicial (de lançamento) e a do fotoporta (final). Estas alturas tanto foram medidas com fita métrica em relação ao tampo da bancada, como através por trigonometria usando o ângulo de inclinação da calha de ar e a distância linear (sobre a calha) entre as duas posições. A margem para incerteza é grande!

Para minimizar estes erros, come a-se pelo par metro que afecta todas as experi ncias e com o caso mais simples, o do carrinho, pois a incerteza prov m, quase s , da inclina  o α da calha. Escolheu-se um valor de α que minimizasse as diferen as entre os valores de energia, mas *impondo a condi  o* $E_c \leq E_p$, visto haver perdas por atrito. Assim, em vez do valor inicialmente medido $\alpha_m = 5,135^\circ$, usou-se $\alpha = 5,418215^\circ$, cujo resultado apresenta-se no gr fico da figura 11 (p g. seguinte). Esta pequena diferen a traduz-se num desn vel (a mais) entre os extremos da calha de 9,8 mm, que poder  ser devido   n o horizontalidade das bancadas entre si e dos pr prios tampos (?), que n o se medem com o procedimento habitual, ou erros nas medi  es efetuadas. Note-se que mesmo assim, ainda h  uma perda sistem tica de energia de 0,0016 J, em cada lan amento do carrinho. Este facto poder  denunciar um enviesamento na medi  o das dist ncias entre os pontos de lan amento e da fotoporta...

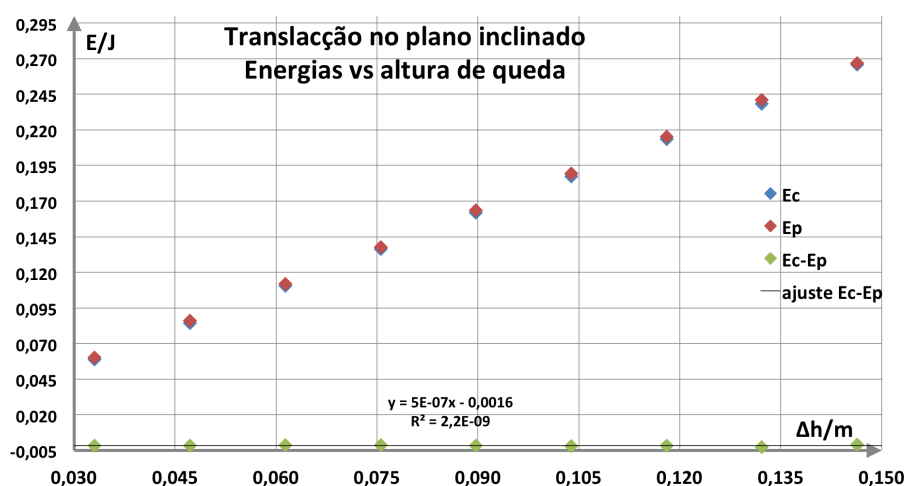


Figura 11. Lan amentos do Carrinho no plano inclinado: energias cin tica final (E_c), potencial inicial (E_p) e a sua diferen a ($E_c - E_p$) em Joules, em fun  o da altura relativa de queda Δh (m). Par metros corrigidos.

Nos lan amentos da esfera e do cilindro foi introduzido o valor de α acima mencionado. Contudo, para encontrar uma solu  o satisfat ria foi necess rio considerar que a luz do fotoporta passava numa corda (do objeto) de comprimento D' diferente do seu di metro D , em todas as experi ncias realizadas. Teoricamente, a velocidade medida na corda D'   a mesma que a velocidade do objeto $v = D/\Delta t = D'/\Delta t'$. Por m, o valor de velocidade apresentado pelo DataStudio, $v' = D/\Delta t'$,   diferente de v , pelo facto de se lhe ter introduzido o di metro D em vez de D' , *que era desconhecido*. A rela  o entre as duas ser :

$$v' = \frac{D}{\Delta t'} = \frac{D}{D'} \frac{D'}{\Delta t'} = \frac{D}{D'} v \Leftrightarrow v = \frac{D'}{D} v'$$

Para os dados obtidos, encontrou-se o valor D' que minimiza as diferen as entre os valores de energia, mas *impondo a condi  o* $E_c \leq E_p$, visto haver perdas por atrito. Note-se que esta metodologia no tratamento de dados **n o   boa** para quem fez as experi ncias largando o objeto sempre da mesma posi  o inicial e colocando o fotoporta ao longo da calha. Nessa situa  o, o valor de D' foi diferente para cada posi  o final escolhida, devido ao ajustamento constante na altura do fotoporta.

Para o lan amento da esfera em rota  o, apresentam-se na figura 12 os resultados tratados com $D' = 19,12$ mm, valor da corda que passou no fotoporta ao inv s do di metro $D = 20,0$ mm da esfera.   evidente que a medi  o referente aos 2,8 cm de altura mant m o desvio desproporcionado ao dos outros dados, mas corrigiu-se o aumento da energia total do sistema: parece haver uma perda sistem tica de 0,0007 J. O declive positivo est  a ser for ado pelo valor¹ a $\Delta h = 2,8$ cm.

¹Tudo indica que esta medi  o ficou mal feita e por isso o valor est  muito desviado dos outros.

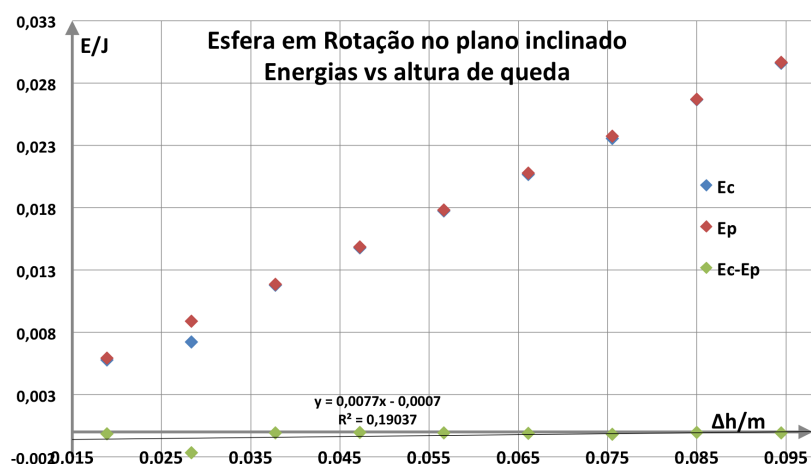


Figura 12. Esfera em rotação no plano inclinado: energias cinética final (E_c), potencial inicial (E_p) e a sua diferença ($E_c - E_p$) em Joules, em função da altura relativa de queda $\Delta h(m)$. Parâmetros corrigidos.

Com os dados do lançamento do cilindro a diversas alturas iniciais procedeu-se da mesma maneira, introduzindo-se $D' = 20,40$ mm, como valor da corda que passou no fotoporta (deve incluir o pequeno anel de guiagem) ao invés do diâmetro que o cilindro tem, $D = 19,64$ mm, usado na figura 6 (pág. 10). Os resultados apresentam-se na figura 13 (pág. seguinte): nesta situação há uma perda de energia total mais evidente: a diferença $E_c - E_p$ aumenta visivelmente com a altura do lançamento.

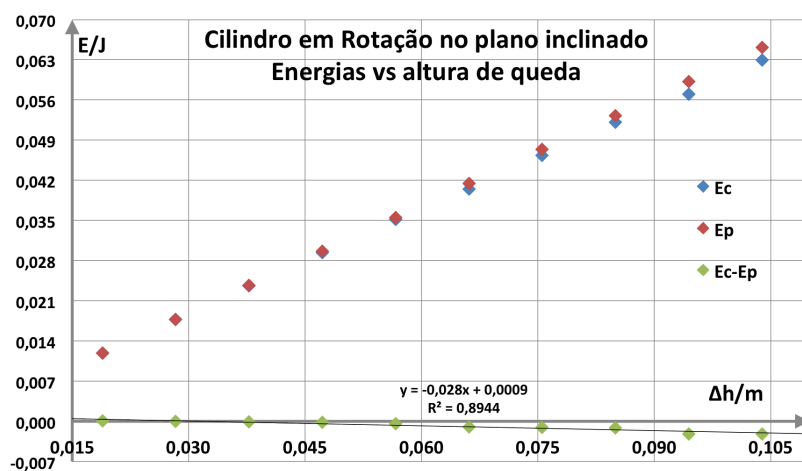


Figura 13. Lançamentos do Cilindro no plano inclinado: energias cinética final (E_c), potencial inicial (E_p) e a sua diferença ($E_c - E_p$) em Joules, em função da altura relativa de queda $\Delta h(m)$. Parâmetros corrigidos.

4 Discussão dos Resultados e Conclusões

NOTA Explicativa: Baseando-se nos resultados deduzidos dos valores experimentais, devem-se discutir as implicações científicas dos mesmos, ou seja, a confirmação da lei física em causa, o grau de incerteza nessa conclusão, o que se poderia fazer para melhorar os resultados tanto na metodologia experimental como no tratamento de dados realizado.

1. Como o valor correcto² da aceleração gravítica para o 4º piso do C1? $g = 9,8007 \text{ m/s}^2$, o resultado

²medições gravimétricas do Prof. Carlos Antunes, do DEGGE

obtido na equação 8 na página 12 tem um erro absoluto

$$\Delta g_{abs} = 9,8031 - 9,8007 = +0,0024 \pm 0,0003 \text{ m/s}^2 \quad (9)$$

que se deve à conjunção de Marte com Neptuno na semana em que a experiência decorreu. *Ficou indubitavelmente provado* que a pequena atração destes dois planetas aumentou um pouco o valor de g no edifício C1.

2. As medições com a calha de ar inclinada permitiram demonstrar a conservação da energia total (mecânica) no caso do carrinho, sendo necessário contudo, reajustar os parâmetros experimentais que não foram (ou não podiam ser) medidos com grande rigor.

Nos objetos com rotação, mostrou-se que há maior perda de energia no caso do cilindro, apesar da massa ser o dobro da da esfera. A nossa interpretação é que durante a descida, os movimentos de oscilação lateral faziam o anel de guiagem ir batendo no sulco, além da superfície de contacto com a rampa ser maior. Por isso, as forças de atrito foram mais intensas e, proporcionais ao espaço percorrido (altura de largada), ou seja, o trabalho destas forças é realizado num percurso maior. No caso da esfera, o atrito limitou-se ao encosto da sua superfície nas quinas do sulco de guiagem na rampa, que deve ser diminuto como os resultados demonstram (fig. 12 na página precedente).

3. A análise estatística dos resultados obtidos na tabela 1 (pág. 7) prova que o universo está em *contração acelerada* e que o **colapso total** ocorrerá no próximo mês de Junho, antes dos exames finais na FCUL. Este resultado coloca em questão a crença generalizada na expansão acelerada do universo. Contudo o pequeno grau de incerteza nestes resultados leva a *duvidar da própria existência do universo observável*, o que me impede de assistir às aulas nos próximos 3 anos ♣.
4. Reforça-se a ideia de que os resultados obtidos são tão excecionais que serão apresentados na próxima conferência planetária sobre Astrofísica trans-observacional.

Referências

- [1] Susana Marta, Antónia Maria, Joaquina R. Migueis, Manuel K. José, *Dados da Experiência da Conservação da Energia Mecânica*, no site de acesso público <http://alunos.fc.ul.pt/f1234>. Ou envie-nos um e-mail para joaquina.maria@gmail.com.
- [2] Conceição Abreu, Luís Matias, Luís Peralta, *Física Experimental, uma Introdução*, Ed. Presença, 1994.
- [3] *Pendulum Motion* no site HyperPhysics do Department of Physics and Astronomy, Georgia State University, USA. <http://hyperphysics.phy-astr.gsu.edu/hbase/pend.html>.